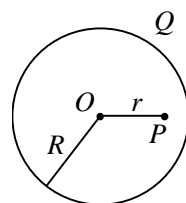


一. 选择题

1. 下列几个说法中哪一个是正确的?

- (A) 电场中某点场强的方向, 就是将点电荷放在该点所受电场力的方向.
 (B) 在以点电荷为中心的球面上, 由该点电荷所产生的场强处处相同.
 (C) 场强可由 $\vec{E} = \vec{F}/q$ 定出, 其中 q 为试验电荷, q 可正、可负, \vec{F} 为试验电荷所受的电场力.
 (D) 以上说法都不正确. []

2. 如图所示, 半径为 R 的均匀带电球面, 总电荷为 Q , 设无穷远处的电势为零, 则球内距离球心为 r 的 P 点处的电场强度的大小和电势为:



- (A) $E=0, U = \frac{Q}{4\pi\epsilon_0 R}$.
 (B) $E=0, U = \frac{Q}{4\pi\epsilon_0 r}$.
 (C) $E = \frac{Q}{4\pi\epsilon_0 r^2}, U = \frac{Q}{4\pi\epsilon_0 r}$.
 (D) $E = \frac{Q}{4\pi\epsilon_0 r^2}, U = \frac{Q}{4\pi\epsilon_0 R}$. []

3. 根据高斯定理的数学表达式 $\oint_S \vec{E} \cdot d\vec{S} = \sum q / \epsilon_0$ 可知下述各种说法中, 正确的是:

- (A) 闭合面内的电荷代数和为零时, 闭合面上各点场强一定为零.
 (B) 闭合面内的电荷代数和不为零时, 闭合面上各点场强一定处处不为零.
 (C) 闭合面内的电荷代数和为零时, 闭合面上各点场强不一定处处为零.
 (D) 闭合面上各点场强均为零时, 闭合面内一定处处无电荷. []

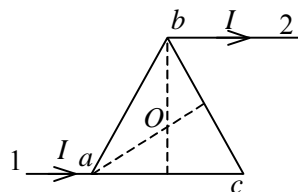
4. 选无穷远处为电势零点, 半径为 R 的导体球带电后, 其电势为 U_0 , 则球内离球心距离为 r 处的电场强度的大小为

- (A) 0. (B) $\frac{U_0}{r}$.
 (C) $\frac{RU_0}{r^2}$. (D) $\frac{U_0}{R}$. []

5. 一导体球外充满相对介电常量为 ϵ_r 的均匀电介质, 若测得导体表面附近场强为 E , 则导体球面上的自由电荷面密度 σ 为

- (A) $\epsilon_0 E$. (B) $\epsilon_0 \epsilon_r E$.
 (C) $\epsilon_r E$. (D) $(\epsilon_0 \epsilon_r - \epsilon_0)E$. []

6. 边长为 l , 由电阻均匀的导线构成的正三角形导线框 abc , 通过彼此平行的长直导线 1 和 2 与电源相连, 导线 1 和 2 分别与导线框在 a 点和 b 点相接, 导线 1 和线框的 ac 边的延长线重合. 导线 1 和 2 上的电流为 I , 如图所示. 令长直导线 1、2 和导线框中电流在线框中心 O 点产生的磁感强度分别为 \vec{B}_1 、 \vec{B}_2 和 \vec{B}_3 , 则 O 点的磁感强度大小



- (A) $B=0$, 因为 $B_1=B_2=B_3=0$.
 (B) $B=0$, 因为 $\vec{B}_1 + \vec{B}_2 = 0, B_3=0$

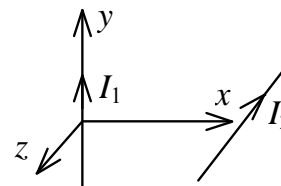
(C) $B \neq 0$, 因为虽然 $\vec{B}_1 + \vec{B}_2 = 0$, 但 $B_3 \neq 0$.

(D) $B \neq 0$, 因为虽然 $B_3 = 0$, 但 $\vec{B}_1 + \vec{B}_2 \neq 0$.

[]

7. 两根无限长载流直导线相互正交放置, 如图所示. I_1 沿 y 轴的正方向, I_2 沿 z 轴负方向. 若载流 I_1 的导线不能动, 载流 I_2 的导线可以自由运动, 则载流 I_2 的导线开始运动的趋势是

- (A) 绕 x 轴转动. (B) 沿 x 方向平动.
(C) 绕 y 轴转动. (D) 无法判断.



[]

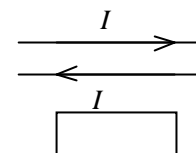
8. 磁介质有三种, 用相对磁导率 μ_r 表征它们各自的特性时,

- (A) 顺磁质 $\mu_r > 0$, 抗磁质 $\mu_r < 0$, 铁磁质 $\mu_r \gg 1$.
(B) 顺磁质 $\mu_r > 1$, 抗磁质 $\mu_r = 1$, 铁磁质 $\mu_r \gg 1$.
(C) 顺磁质 $\mu_r > 1$, 抗磁质 $\mu_r < 1$, 铁磁质 $\mu_r \gg 1$.
(D) 顺磁质 $\mu_r < 0$, 抗磁质 $\mu_r < 1$, 铁磁质 $\mu_r > 0$.

[]

9. 两根无限长平行直导线载有大小相等方向相反的电流 I , 并各以 $dI/dt(>0)$ 的变化率增长, 一矩形线圈位于导线平面内(如图), 则:

- (A) 线圈中无感应电流.
(B) 线圈中感应电流为顺时针方向.
(C) 线圈中感应电流为逆时针方向.
(D) 线圈中感应电流方向不确定.



[]

10. 在感应电场中电磁感应定律可写成 $\oint_L \vec{E}_K \cdot d\vec{l} = -\frac{d\Phi}{dt}$, 式中 \vec{E}_K 为感应电场的电场强度. 此式表明:

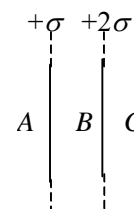
- (A) 闭合曲线 L 上 \vec{E}_K 处处相等.
(B) 感应电场是保守力场.
(C) 感应电场的电场强度线不是闭合曲线.
(D) 在感应电场中不能像对静电场那样引入电势的概念.

[]

二. 填空题

1. 两个平行的“无限大”均匀带电平面, 其电荷面密度分别为 $+\sigma$ 和 $+2\sigma$, 如图所示, 则 A、B、C 三个区域的电场强度分别为:

$E_A =$ _____, $E_B =$ _____,
 $E_C =$ _____ (设方向向右为正).



2. 静电场的环路定理的数学表示式为: _____. 该式的物理意义是: _____.
该定理表明, 静电场是 _____ 场.

3. 一平行板电容器, 充电后与电源保持联接, 然后使两极板间充满相对介电常量为 ϵ_r 的各向同性均匀电介质, 这时两极板上的电荷是原来的 _____ 倍; 电场强度是原来的 _____ 倍; 电场能量是原来的 _____ 倍.

5. 图中所示的一无限长直圆筒, 沿圆周方向上的面电流密度(单位垂直长度上流过的电流)为 i , 则圆筒内部的磁感强度的大小为 $B = \underline{\hspace{2cm}}$, 方向 $\underline{\hspace{2cm}}$.

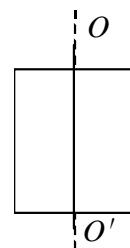


6. 一带电粒子平行磁感线射入匀强磁场, 则它作 $\underline{\hspace{2cm}}$ 运动.
 一带电粒子垂直磁感线射入匀强磁场, 则它作 $\underline{\hspace{2cm}}$ 运动.
 一带电粒子与磁感线成任意交角射入匀强磁场, 则它作 $\underline{\hspace{2cm}}$ 运动.

7. 在国际单位制中, 磁场强度 H 的单位是 $\underline{\hspace{2cm}}$, 磁导率 μ 的单位是 $\underline{\hspace{2cm}}$.

8. 一根直导线在磁感强度为 \vec{B} 的均匀磁场中以速度 \vec{v} 运动切割磁力线. 导线中对应于非静电力的场强(称作非静电场场强) $\vec{E}_K = \underline{\hspace{2cm}}$.

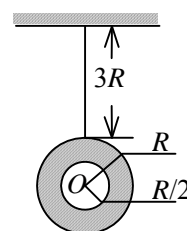
9. 有一根无限长直导线绝缘地紧贴在矩形线圈的中心轴 OO' 上, 则直导线与矩形线圈间的互感系数为 $\underline{\hspace{2cm}}$.



10. 一平行板空气电容器的两极板都是半径为 R 的圆形导体片, 在充电时, 板间电场强度的变化率为 dE/dt . 若略去边缘效应, 则两板间的位移电流为 $\underline{\hspace{2cm}}$.

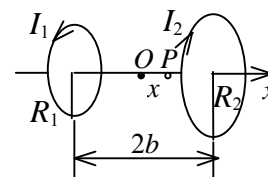
三. 计算题

1. 一环形薄片由细绳悬吊着, 环的外半径为 R , 内半径为 $R/2$, 并有电荷 Q 均匀分布在环面上. 细绳长 $3R$, 也有电荷 Q 均匀分布在绳上, 如图所示, 试求圆环中心 O 处的电场强度(圆环中心在细绳延长线上).

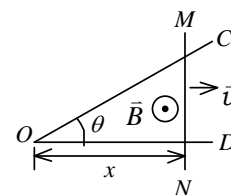


2. 一圆柱形电容器, 外柱的直径为 4 cm , 内柱的直径可以适当选择, 若其间充满各向同性的均匀电介质, 该介质的击穿电场强度的大小为 $E_0 = 200\text{ KV/cm}$. 试求该电容器可能承受的最高电压. (自然对数的底 $e = 2.7183$)

3. 如图两共轴线圈, 半径分别为 R_1 、 R_2 , 电流为 I_1 、 I_2 . 电流的方向相反, 求轴线上相距中点 O 为 x 处的 P 点的磁感强度.



4. 如图所示, 有一弯成 θ 角的金属架 COD 放在磁场中, 磁感强度 \vec{B} 的方向垂直于金属架 COD 所在平面. 一导体杆 MN 垂直于 OD 边, 并在金属架上以恒定速度 \vec{v} 向右滑动, \vec{v} 与 MN 垂直. 设 $t=0$ 时, $x=0$. 求下列两情形, 框架内的感应电动势 \mathcal{E}_i .



- (1) 磁场分布均匀, 且 \vec{B} 不随时间改变.
- (2) 非均匀的时变磁场 $B = Kx \cos \omega t$. (K, ω 为常数)

参考答案

一. 选择题

1.[C] 2.[A] 3.[C] 4.[A] 5.[B] 6.[D] 7.[A] 8.[C] 9.[B] 10.[D]

二. 填空题

1. $-3\sigma/(2\epsilon_0)$; $-\sigma/(2\epsilon_0)$; $3\sigma/(2\epsilon_0)$
2. $\oint_L \vec{E} \cdot d\vec{l} = 0$; 单位正电荷在静电场中沿任意闭合路径绕行一周, 电场力做功等于零 ; 有势 (或保守力)
3. ϵ_r ; 1 ; ϵ_r
5. $\mu_0 i$; 沿轴线方向朝右
6. 匀速直线 ; 匀速率圆周 ; 等距螺旋线
7. A/m ; T·m/A
8. $\vec{v} \times \vec{B}$
9. 0
10. $\epsilon_0 \pi R^2 dE/dt$

三. 计算题

1. 解: 先计算细绳上的电荷在 O 点产生的场强. 选细绳顶端作坐标原点 O , x 轴向下为正. 在 x 处取一电荷元

$$dq = \lambda dx = Qdx/(3R)$$

它在环心处的场强为

$$\begin{aligned} dE_1 &= \frac{dq}{4\pi\epsilon_0(4R-x)^2} \\ &= \frac{Qdx}{12\pi\epsilon_0 R(4R-x)^2} \end{aligned}$$

整个细绳上的电荷在环心处的场强

$$E_1 = \frac{Q}{12\pi\epsilon_0 R} \int_0^{3R} \frac{dx}{(4R-x)^2} = \frac{Q}{16\pi\epsilon_0 R^2}$$

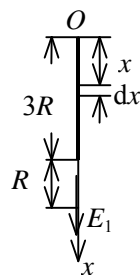
圆环上的电荷分布对环心对称, 它在环心处的场强

$$E_2 = 0$$

由此, 合场强

$$\vec{E} = E_1 \vec{i} = \frac{Q}{16\pi\epsilon_0 R^2} \vec{i}$$

方向竖直向下.



2. 解: 设圆柱形电容器单位长度上带有电荷为 λ , 则电容器两极板之间的场强分布为

$$E = \lambda / (2\pi\epsilon r)$$

设电容器内外两极板半径分别为 r_0 , R , 则极板间电压为

$$U = \int_{r_0}^R \vec{E} \cdot d\vec{r} = \int_{r_0}^R \frac{\lambda}{2\pi\epsilon r} dr = \frac{\lambda}{2\pi\epsilon} \ln \frac{R}{r_0}$$

电介质中场强最大处在内柱面上, 当这里场强达到 E_0 时电容器击穿, 这时应有

$$\lambda = 2\pi\epsilon r_0 E_0$$

$$U = r_0 E_0 \ln \frac{R}{r_0}$$

适当选择 r_0 的值, 可使 U 有极大值, 即令

$$dU/dr_0 = E_0 \ln(R/r_0) - E_0 = 0$$

得

$$r_0 = R/e$$

显然有 $\frac{d^2 U}{dr_0^2} < 0$, 故当 $r_0 = R/e$ 时电容器可承受最高的电压

$$U_{\max} = RE_0/e = 147 \text{ kV}$$

3. 解: 取 x 轴向右, 那么有

$$B_1 = \frac{\mu_0 R_1^2 I_1}{2[R_1^2 + (b+x)^2]^{3/2}} \quad \text{沿 } x \text{ 轴正方向}$$

$$B_2 = \frac{\mu_0 R_2^2 I_2}{2[R_2^2 + (b-x)^2]^{3/2}} \quad \text{沿 } x \text{ 轴负方向}$$

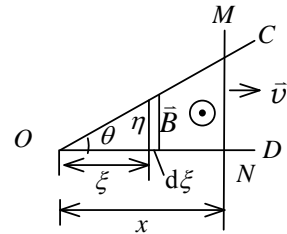
$$B = B_1 - B_2 = \frac{\mu_0}{2} \left[\frac{\mu_0 R_1^2 I_1}{[R_1^2 + (b+x)^2]^{3/2}} - \frac{\mu_0 R_2^2 I_2}{[R_2^2 + (b-x)^2]^{3/2}} \right]$$

若 $B > 0$, 则 \vec{B} 方向为沿 x 轴正方向. 若 $B < 0$, 则 \vec{B} 的方向为沿 x 轴负方向.

4. 解: (1) 由法拉第电磁感应定律:

$$\Phi = B \frac{1}{2} xy \quad y = \tan \theta x \quad x = vt$$

$$\begin{aligned} \varepsilon_i &= -d\Phi/dt = -\frac{d}{dt} \left(\frac{1}{2} B \tan \theta x^2 \right) \\ &= -\frac{1}{2} B \tan \theta 2x dx/dt = B \tan \theta v^2 t \end{aligned}$$



在导体 MN 内 \vec{E}_i 方向由 M 向 N .

(2) 对于非均匀时变磁场 $B = Kx \cos \omega t$

取回路绕行的正向为 $O \rightarrow N \rightarrow M \rightarrow O$, 则

$$d\Phi = B dS = B \eta d\xi \quad \eta = \xi \tan \theta$$

$$d\Phi = B \xi \tan \theta d\xi = K \xi^2 \cos \omega t \tan \theta d\xi$$

$$\Phi = \int d\Phi = \int_0^x K \xi^2 \cos \omega t \tan \theta d\xi = \frac{1}{3} K x^3 \cos \omega t \tan \theta$$

$$\varepsilon_i = -\frac{d\Phi}{dt} = \frac{1}{3} K \omega x^3 \sin \omega t \tan \theta - K x^2 v \cos \omega t \tan \theta$$

$$= K v^3 \tan \theta \left(\frac{1}{3} \omega t^3 \sin \omega t - t^2 \cos \omega t \right)$$

$\varepsilon_i > 0$, 则 \vec{E}_i 方向与所设绕行正向一致, $\varepsilon_i < 0$, 则 \vec{E}_i 方向与所设绕行正向相反.